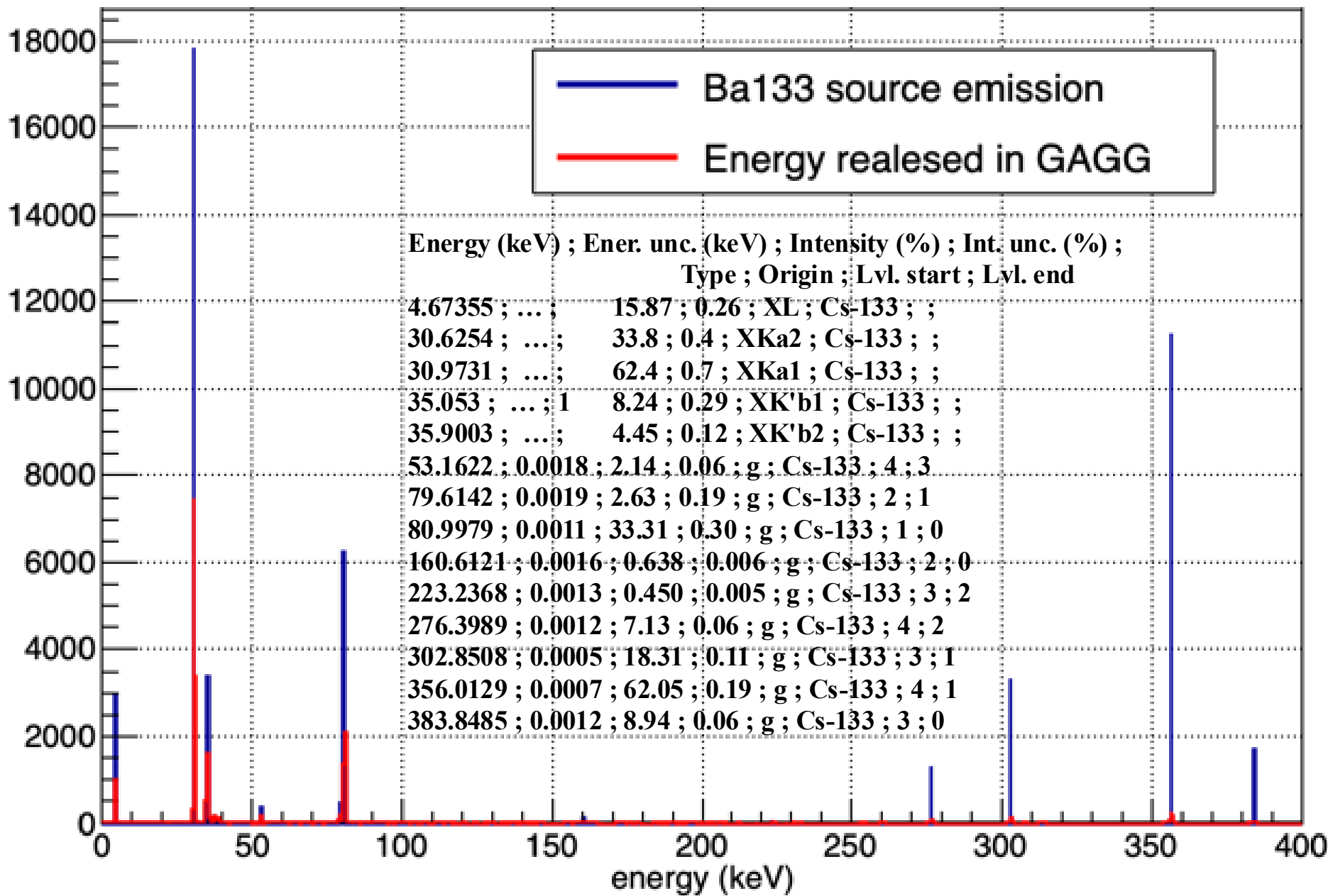


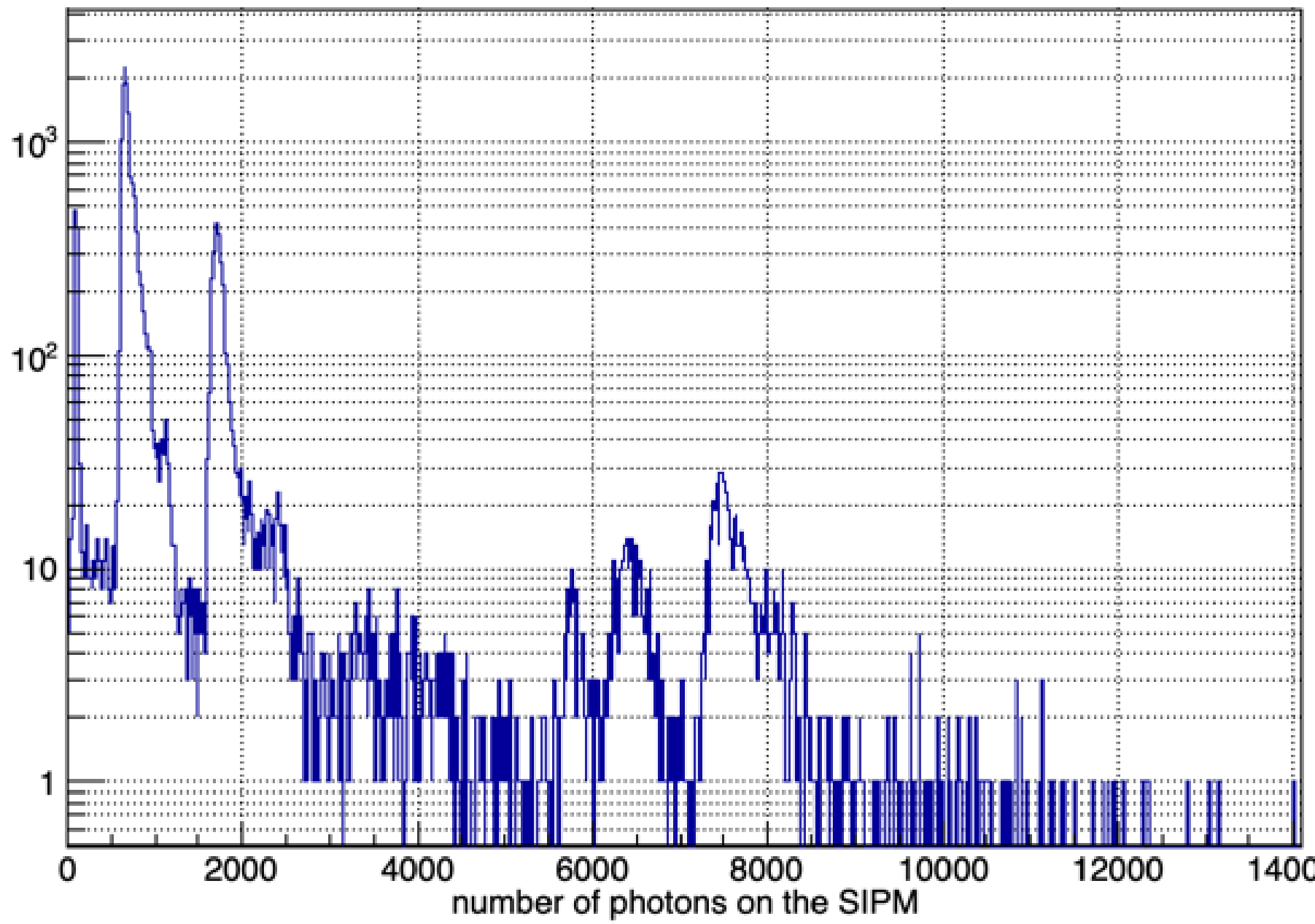
SIMULAZIONE test di laboratorio EPSI

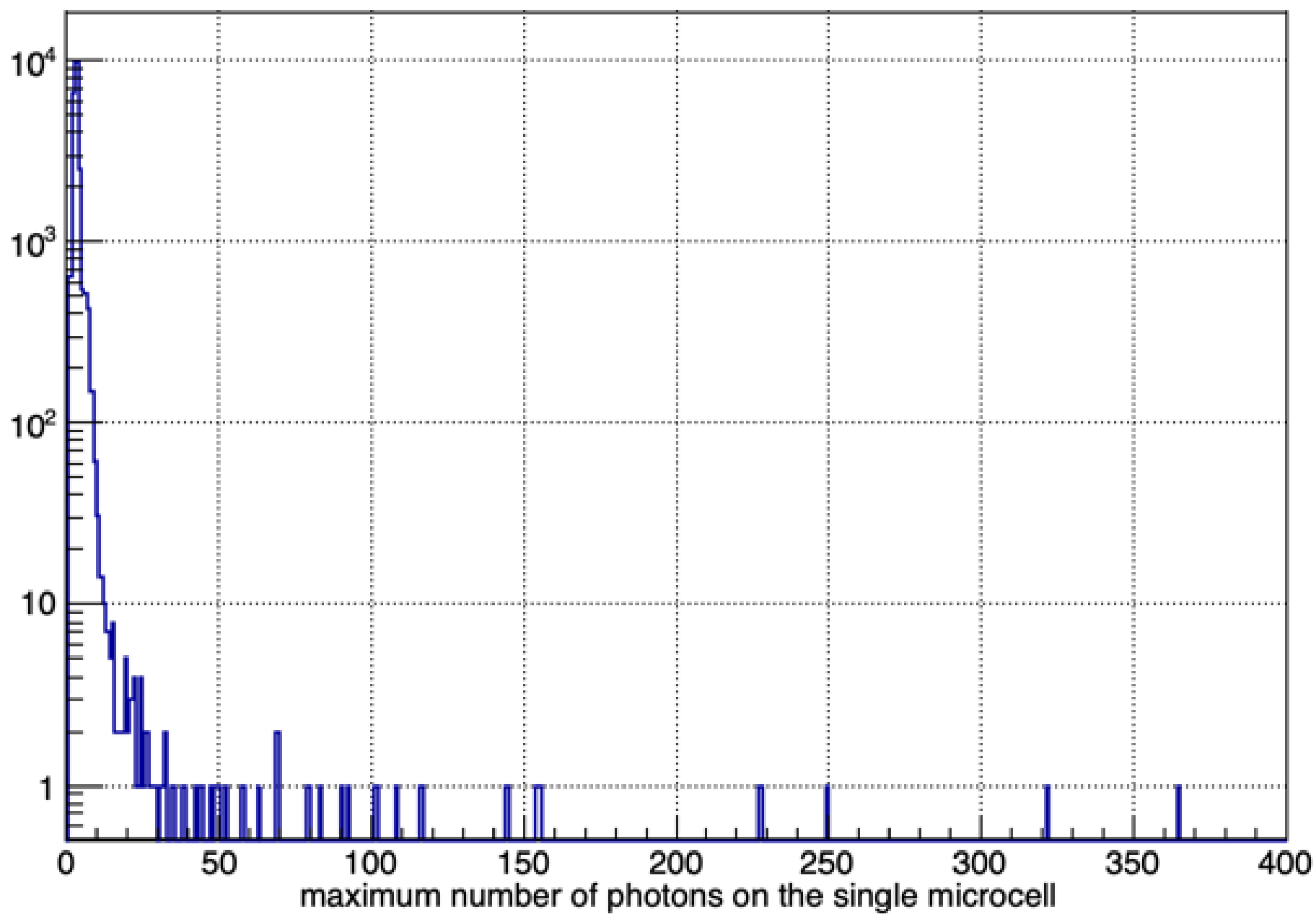
- Simulazione della sorgente: Ba133, Eu152, Cs137, Fe55
- Simulazione della geometria del sistema
- Trasporto delle particelle e simulazione dei processi fisici nei materiali (FLUKA)
- Produzione di fotoni ottici
- Propagazione dei fotoni ottici nel cristallo
- Simulazione della geometria delle micro celle del SiPM
- Efficienza quantica e di produzione valanga Gaiger
- Cross talk ottico
- Tempo di recupero delle microcelle

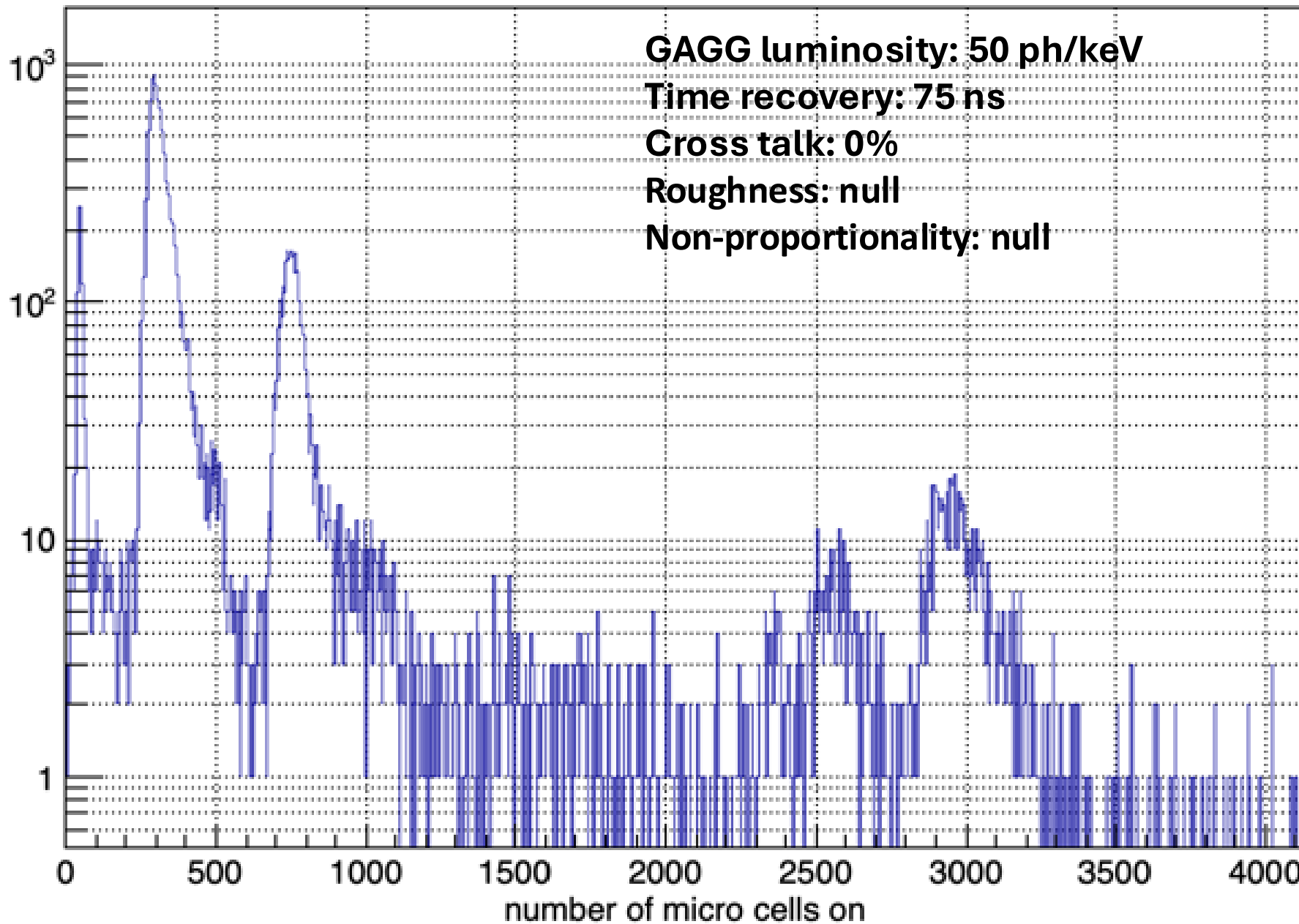


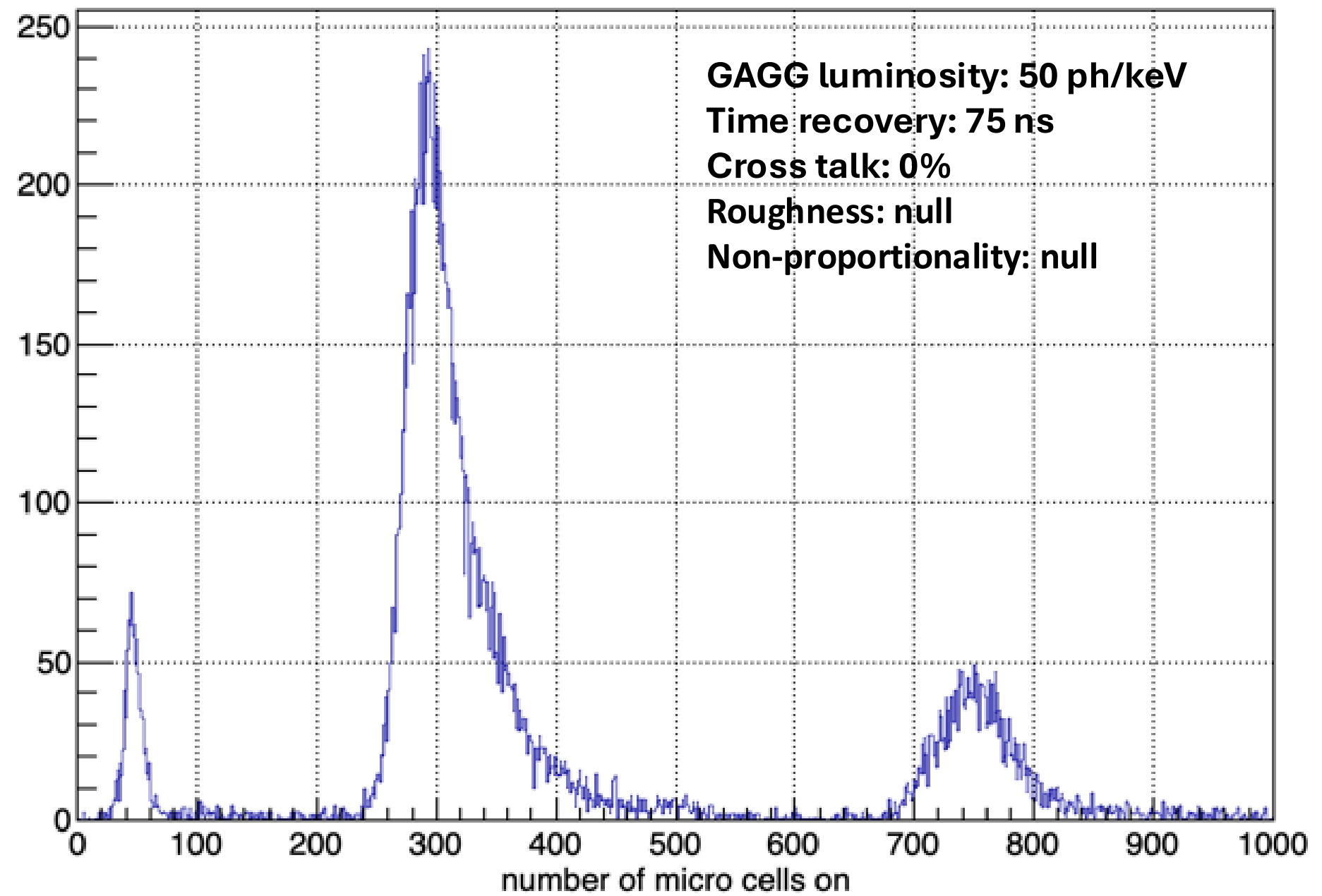
Numero di micro celle SiPM accese

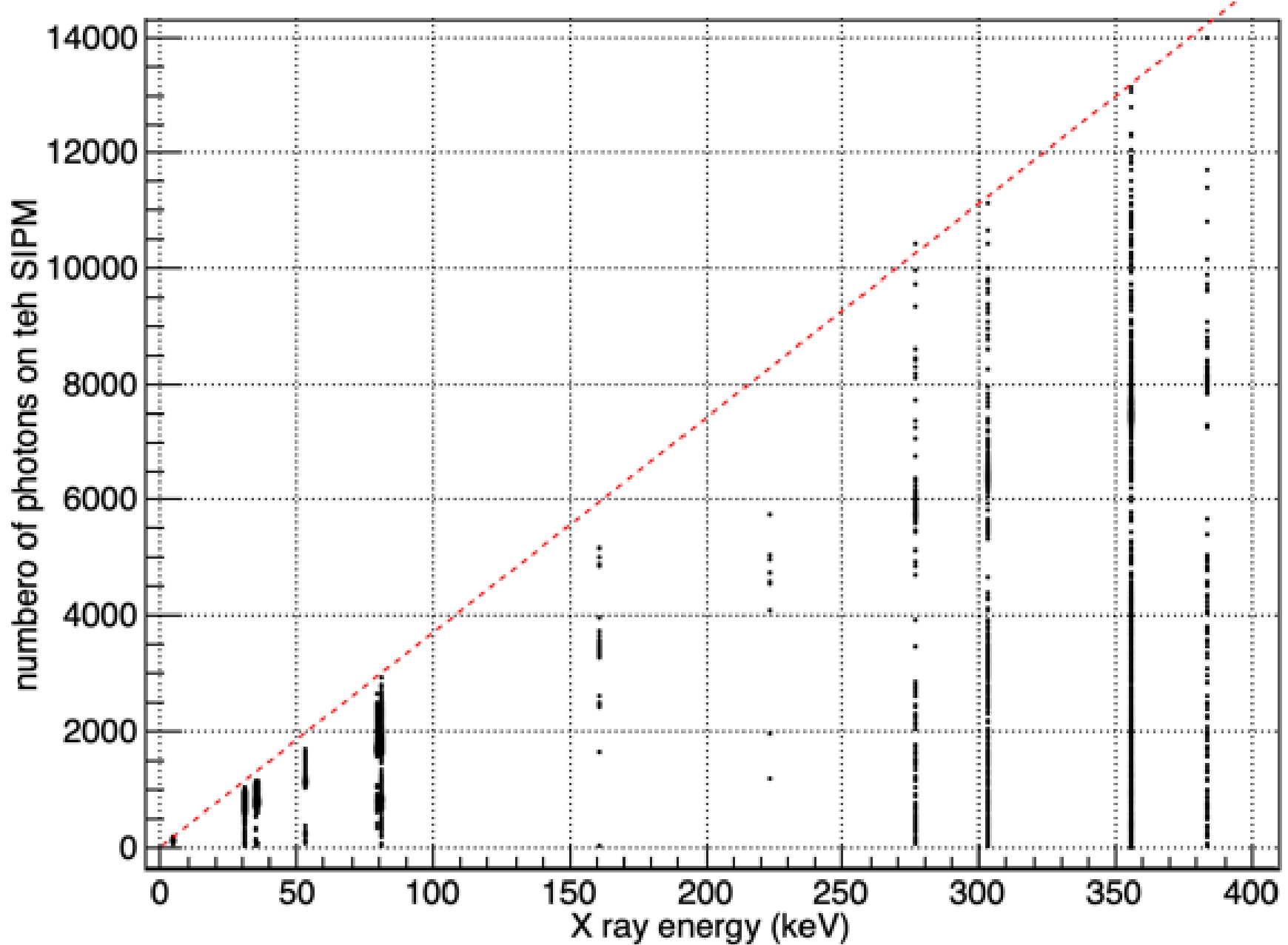












number of micro cells on

4500

Cross talk: 0%

4000

3500

3000

2500

2000

1500

1000

500

0

0

50

100

150

200

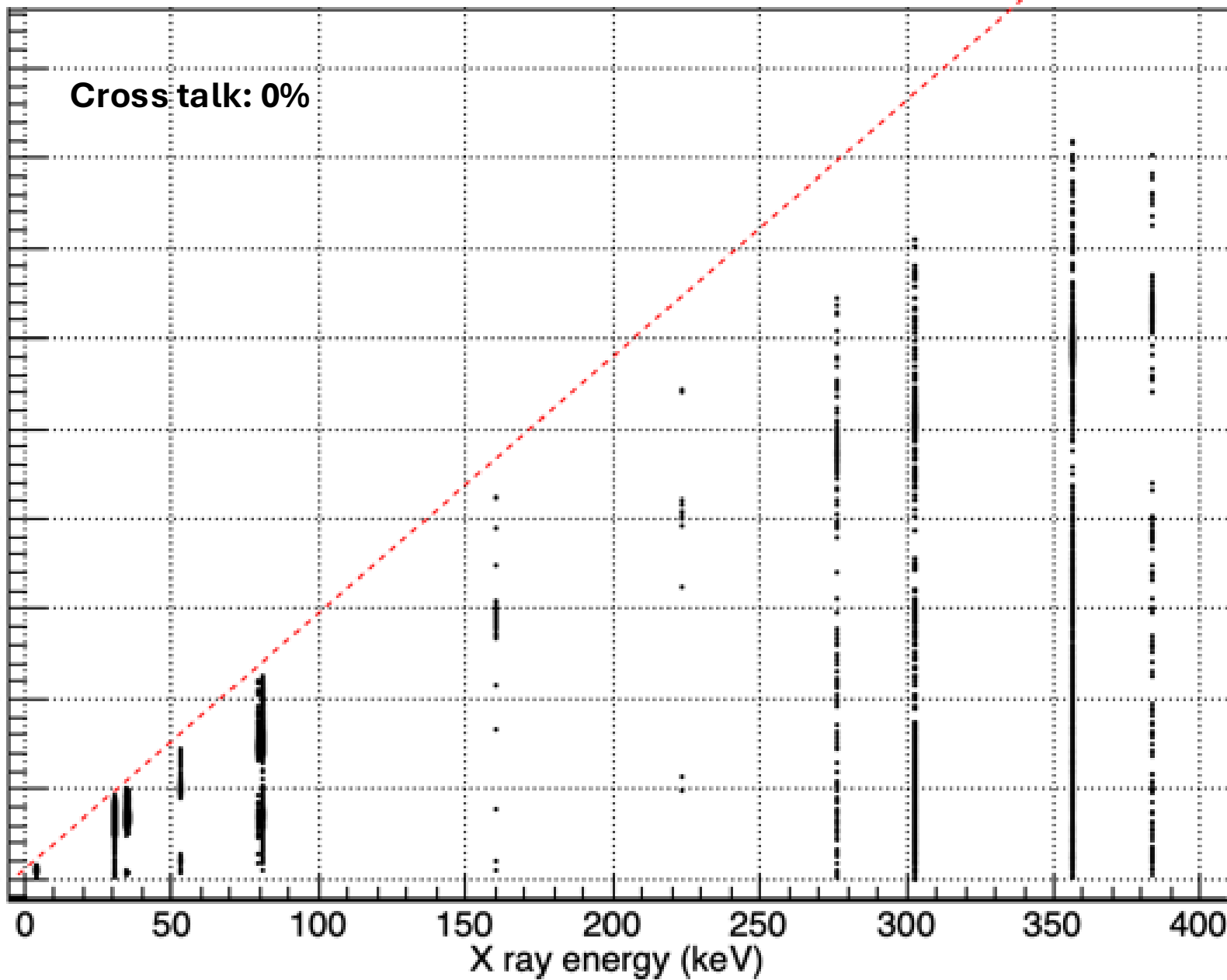
250

300

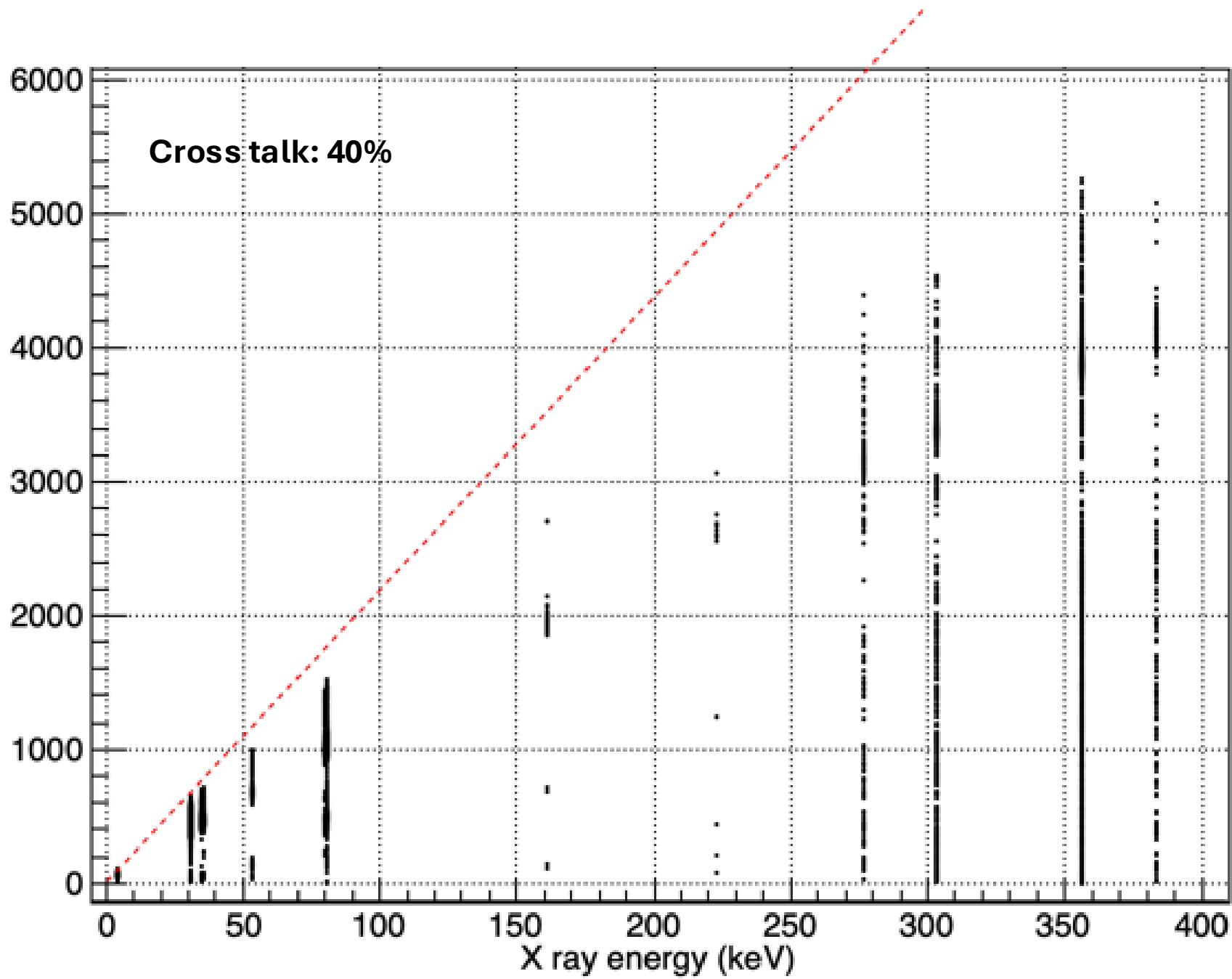
350

400

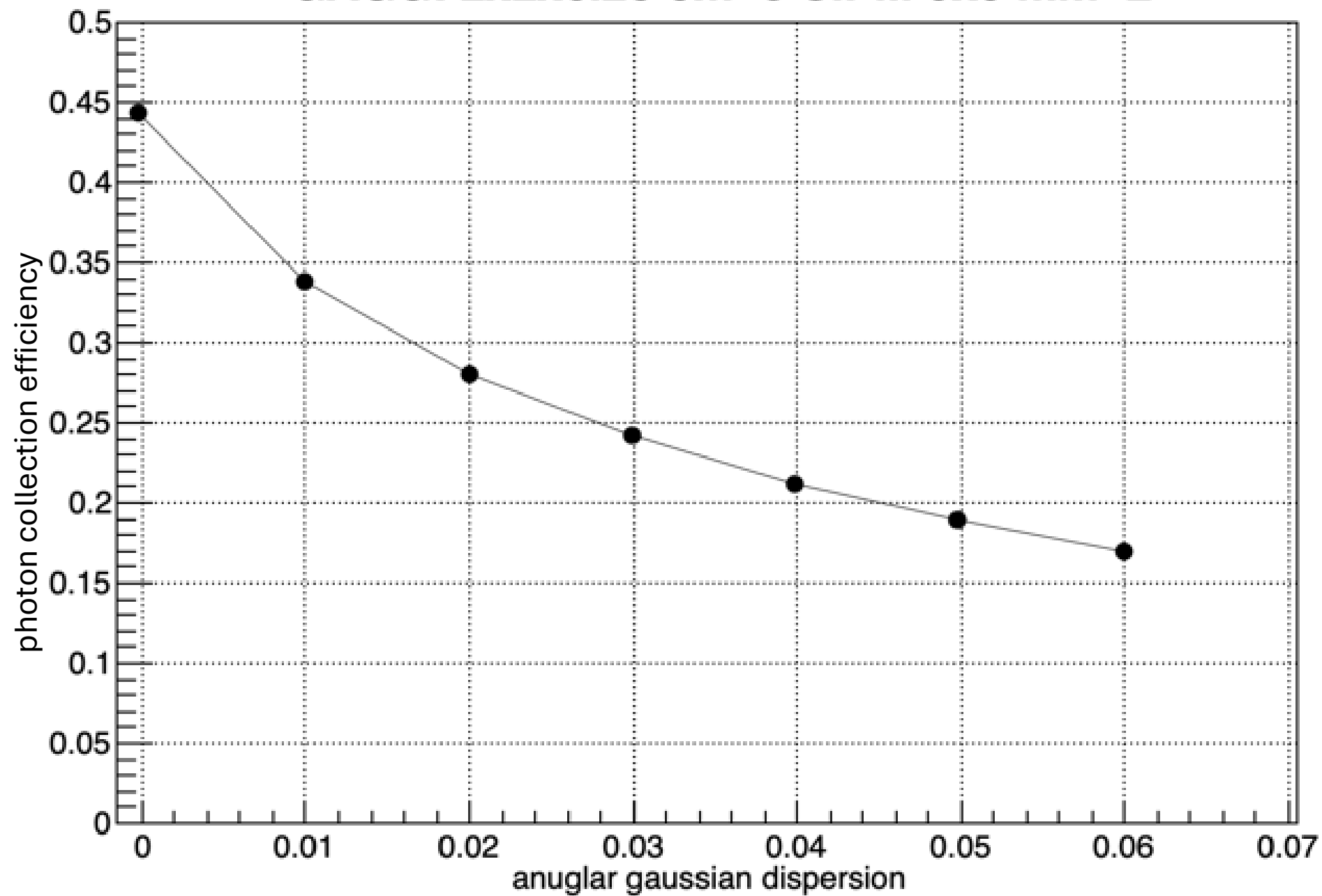
X ray energy (keV)



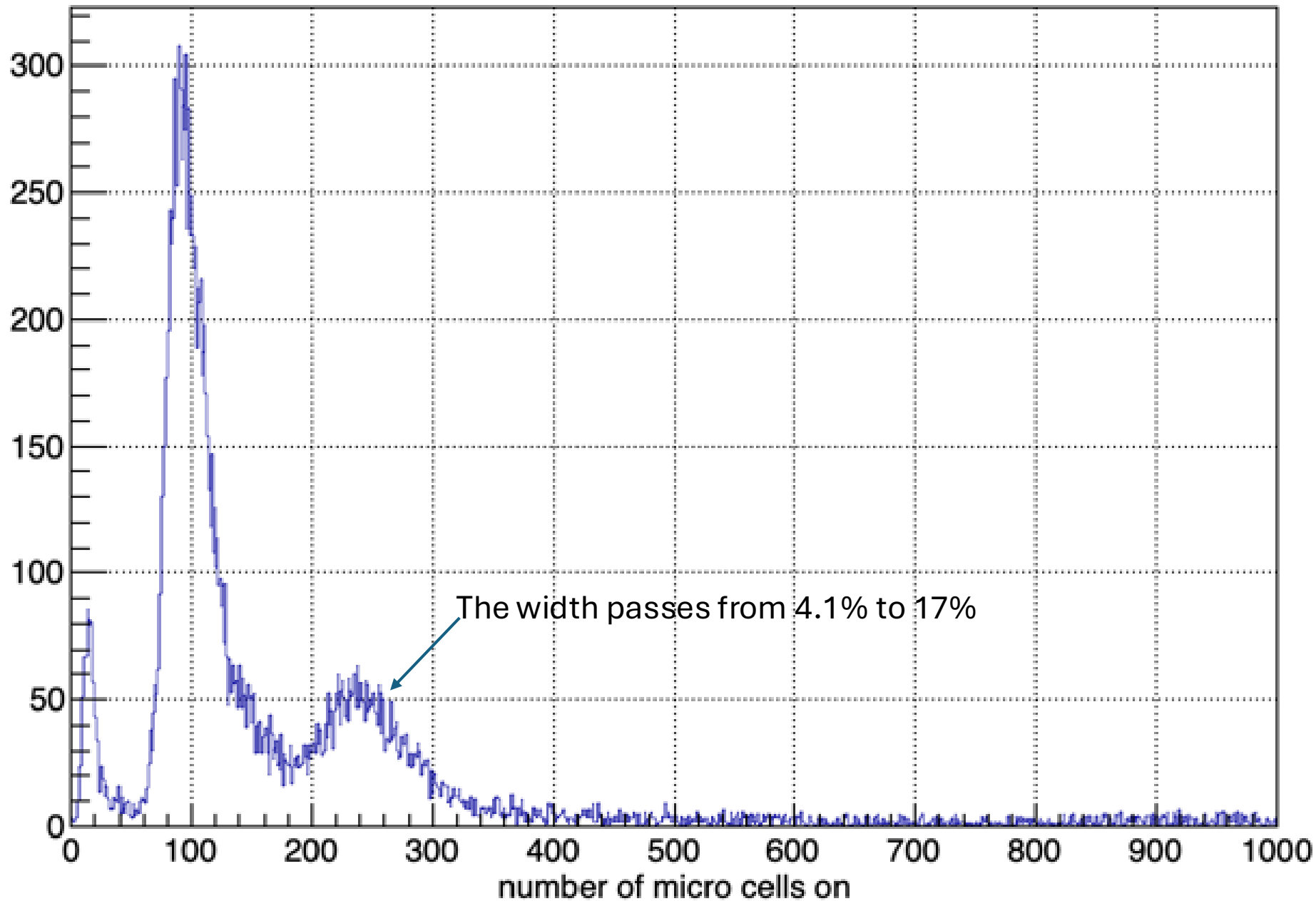
number of cells on



GAGG: 2x2x0.25 cm³ SiPM 6x6 mm²



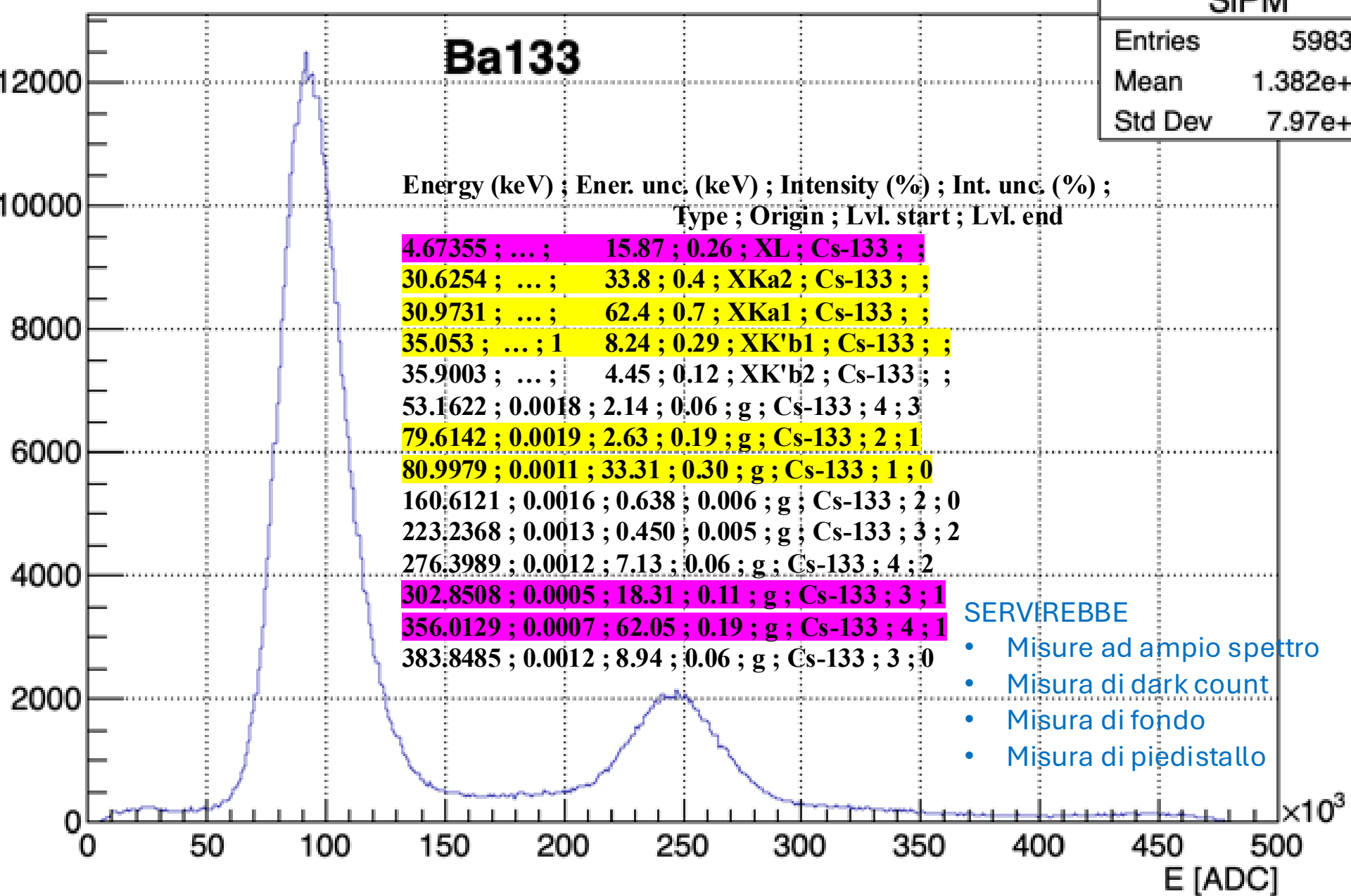
Roughness parameter: 0.06



Area

GAGG: Integration time: 2000 ns

SiPM



Area
GAGG: Integration time: 2000 ns

SiPM

Entries	437
Mean	1.818e-0
Std Dev	1.061e-0

Eu152

Energy (keV) ; Ener. unc. (keV) ; Intensity (%) ; Int. unc. (%) ;
Type ; Origin ; Lvl. start ; Lvl. end

6.395 ; ; 13.0 ; 0.4 ; XL ; Sm-152 ; ;
6.73255 ; ; 0.177 ; 0.005 ; XL ; Gd-152 ; ;
39.5229 ; ; 20.8 ; 0.3 ; XKa2 ; Sm-152 ; ;
40.1186 ; ; 37.7 ; 0.5 ; XKa1 ; Sm-152 ; ;
42.3093 ; ; 0.243 ; 0.007 ; XKa2 ; Gd-152 ; ;
42.9967 ; ; 0.437 ; 0.012 ; XKa1 ; Gd-152 ; ;
45.4777 ; ; 11.78 ; 0.19 ; XK'b1 ; Sm-152 ; ;
46.6977 ; ; 3.04 ; 0.08 ; XK'b2 ; Sm-152 ; ;
48.7687 ; ; 0.138 ; 0.004 ; XK'b1 ; Gd-152 ; ;
50.093 ; ; 0.0363 ; 0.0013 ; XK'b2 ; Gd-152 ; ;
121.7817 ; 0.0003 ; 28.41 ; 0.13 ; g ; Sm-152 ; 1 ; 0
125.69 ; 0.13 ; 0.019 ; 0.006 ; g ; Sm-152 ; 5 ; 3
148.010 ; 0.017 ; 0.035 ; 0.005 ; g ; Sm-152 ; 10 ; 9
192.6 ; 0.4 ; 0.0068 ; 0.0002 ; g ; Gd-152 ; 7 ; 4

